

図1

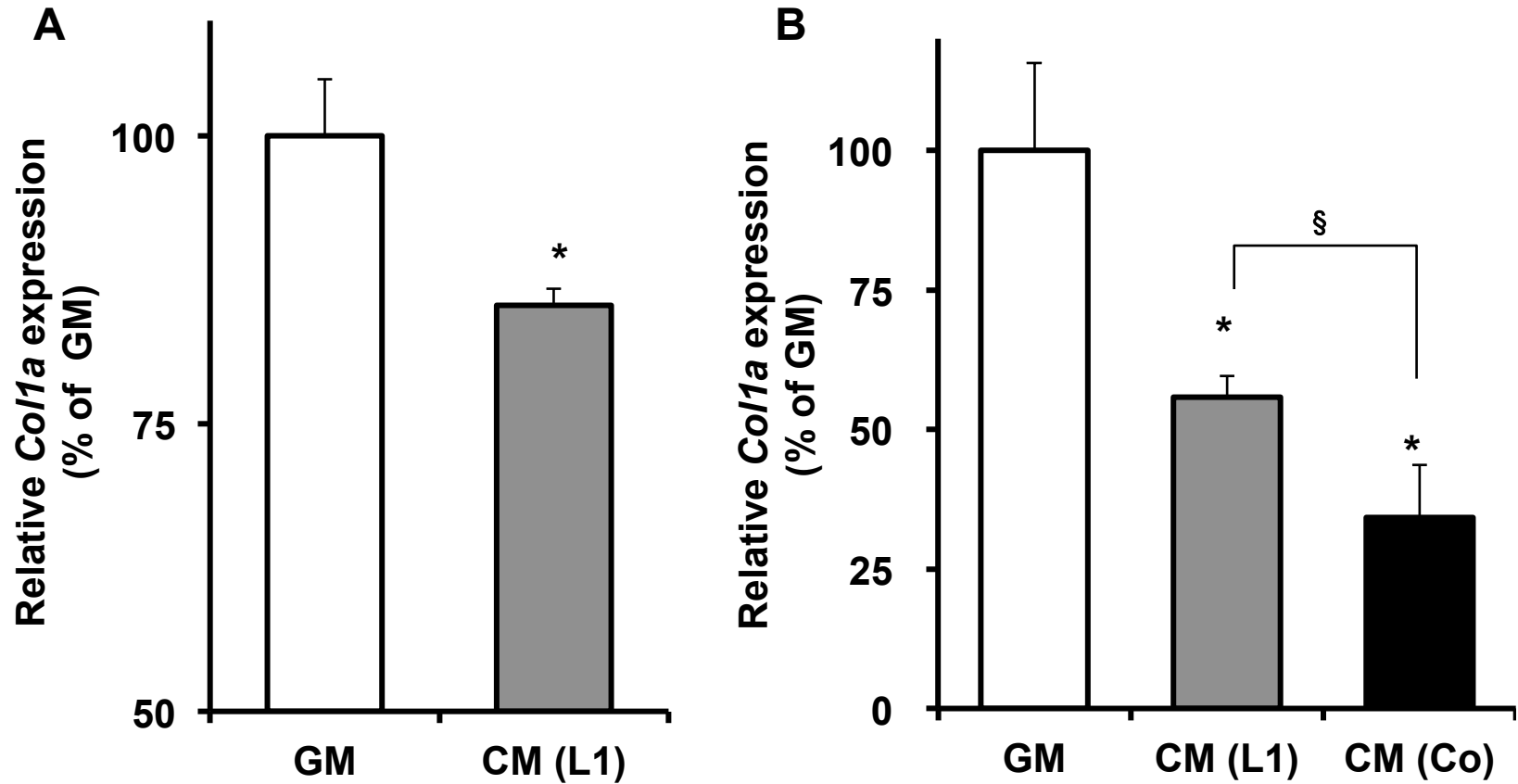


図1 繊維芽細胞のコラーゲン発現に対する脂肪細胞の影響

A) 繊維芽細胞のCol1a mRNA発現に及ぼす脂肪細胞の影響。

B) 過度な肥満状態がCol1a mRNA発現に及ぼす影響。

GM; Growth Medium (used as vehicle control)、CM (L1); Conditioned Medium with L1、

CM (Co); Conditioned Medium with Coculture

*p < 0.05 with GM, §p < 0.05 with CM (L1)

図2

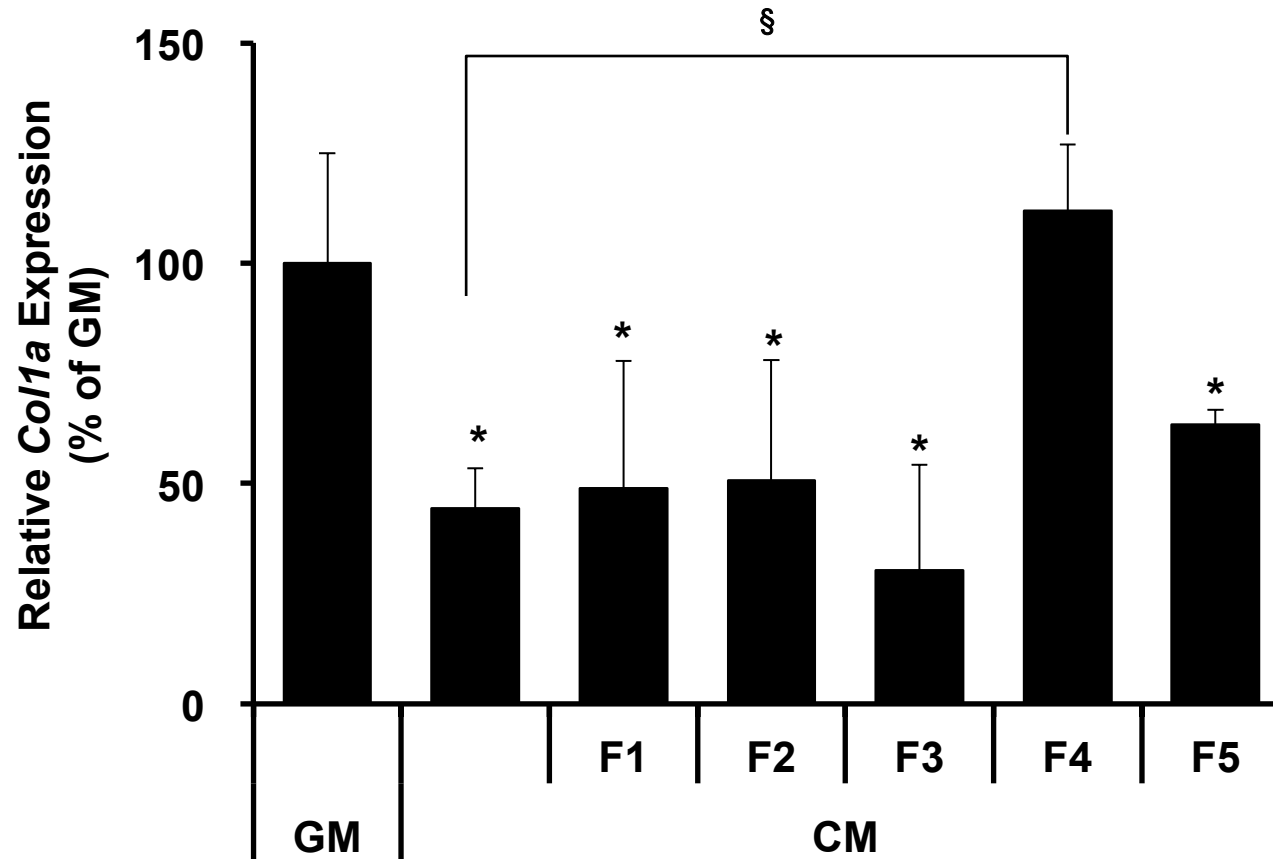


図2 脂肪細胞由来液性因子の解析実験。

本試験で用いたフィルターは以下の5種類。

F1; ゲル濾過フィルター、F2; シリカゲルフィルター、F3; 糖鎖吸着フィルター、
F4; 陽イオン交換フィルター、F5; 陰イオン交換フィルター

*p < 0.05 with GM, §p < 0.05 with CM (Co)

図3

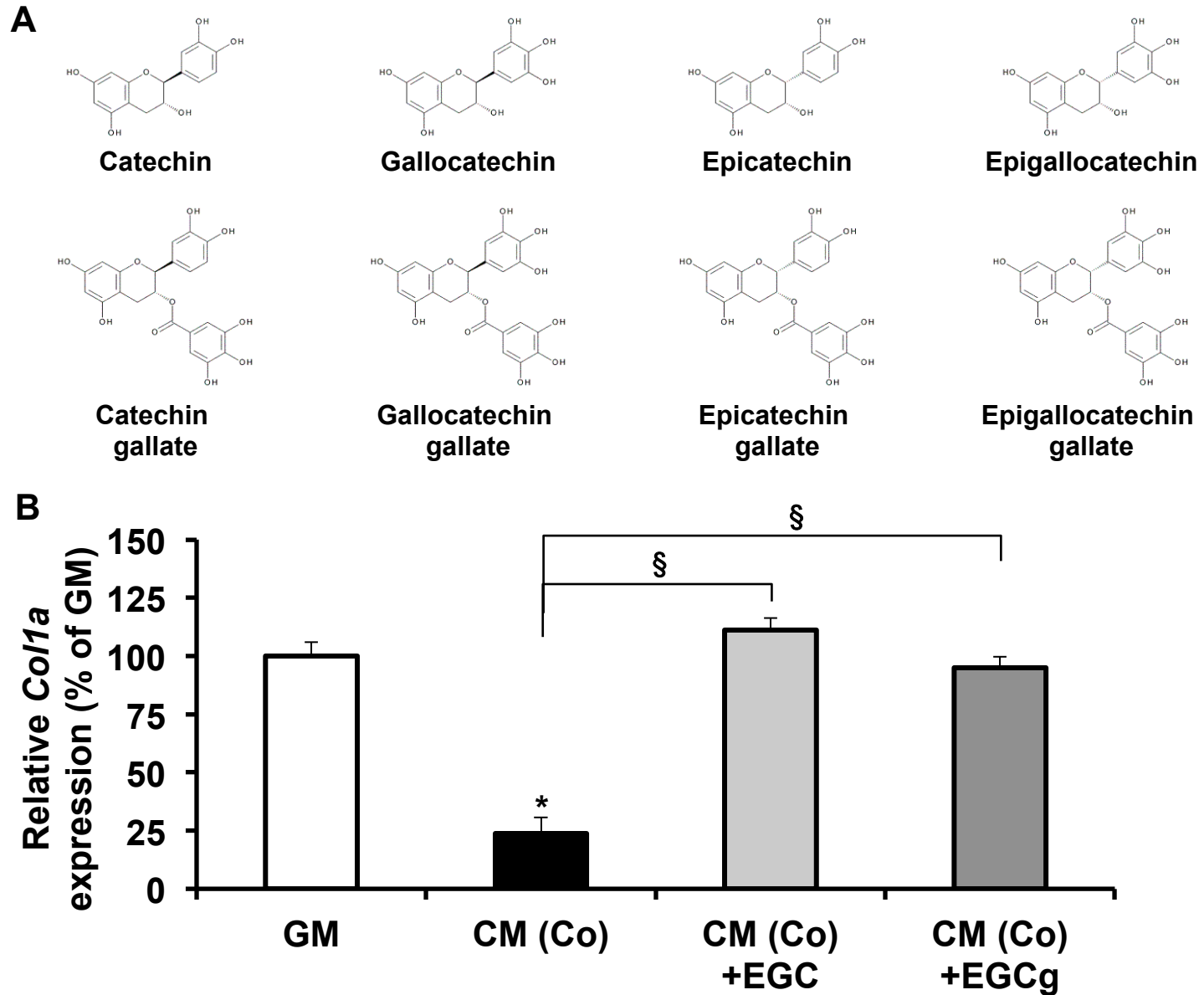


図3 脂肪細胞によるコラーゲン発現抑制に対する茶カテキン類の効果

A) 本試験で用いたカテキン(8種類)の構造式。

B) 脂肪細胞によるコラーゲン発現抑制に対するエピガロカテキン(EGC)およびエピガロカテキンガレート(EGCg)の効果。

* $p < 0.05$ with GM, § $p < 0.05$ with CM (Co)

図4

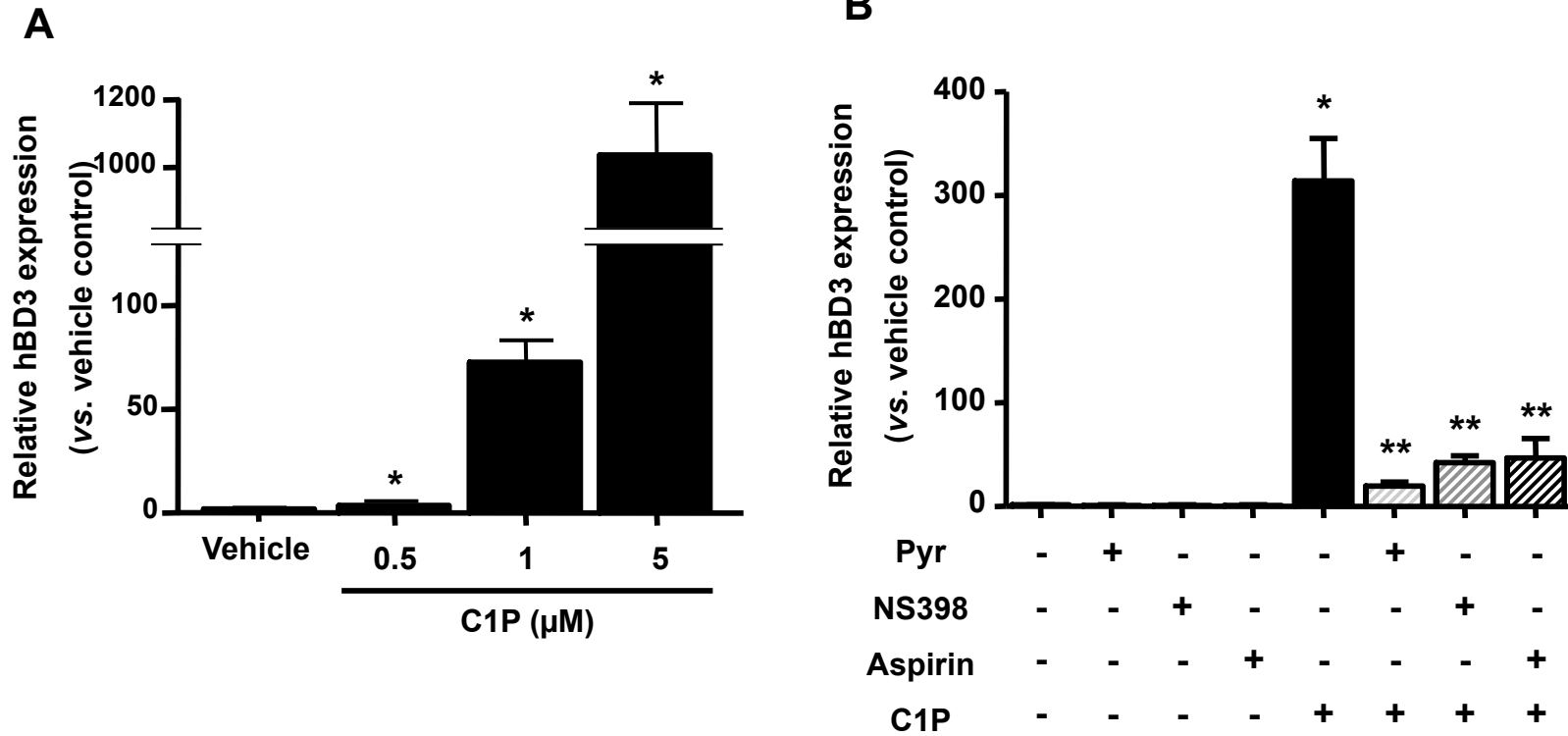


図4 抗菌ペプチドhBD3発現に与えるC1Pの作用とそのメカニズム

A) C1PがhBD3発現に与える影響。

B) C1PによるhBD3発現メカニズム解析1; cPLA2aおよびCOXの関与。

pyr; cPLA2a inhibitor, NS398; COX2 inhibitor, Aspirin; COX inhibitor

*p < 0.05 vs vehicle control, **p < 0.05 vs C1P

図4(つづき)

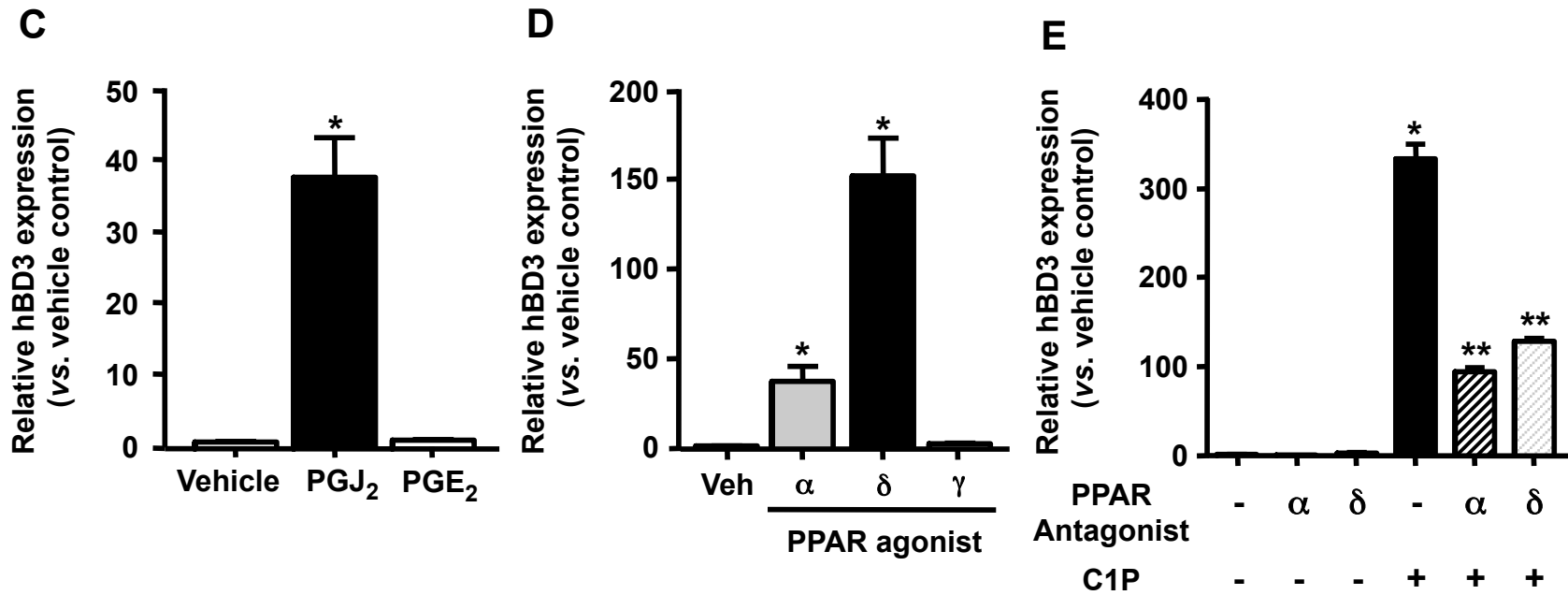


図4 抗菌ペプチドhBD3発現に与えるC1Pの作用とそのメカニズム

C) C1PによるhBD3発現メカニズム解析2;プロスタグランジンの関与。

DおよびE) C1PによるhBD3発現メカニズム解析3;PPARの関与。

*p < 0.05 vs vehicle control, **p < 0.05 vs C1P

図5

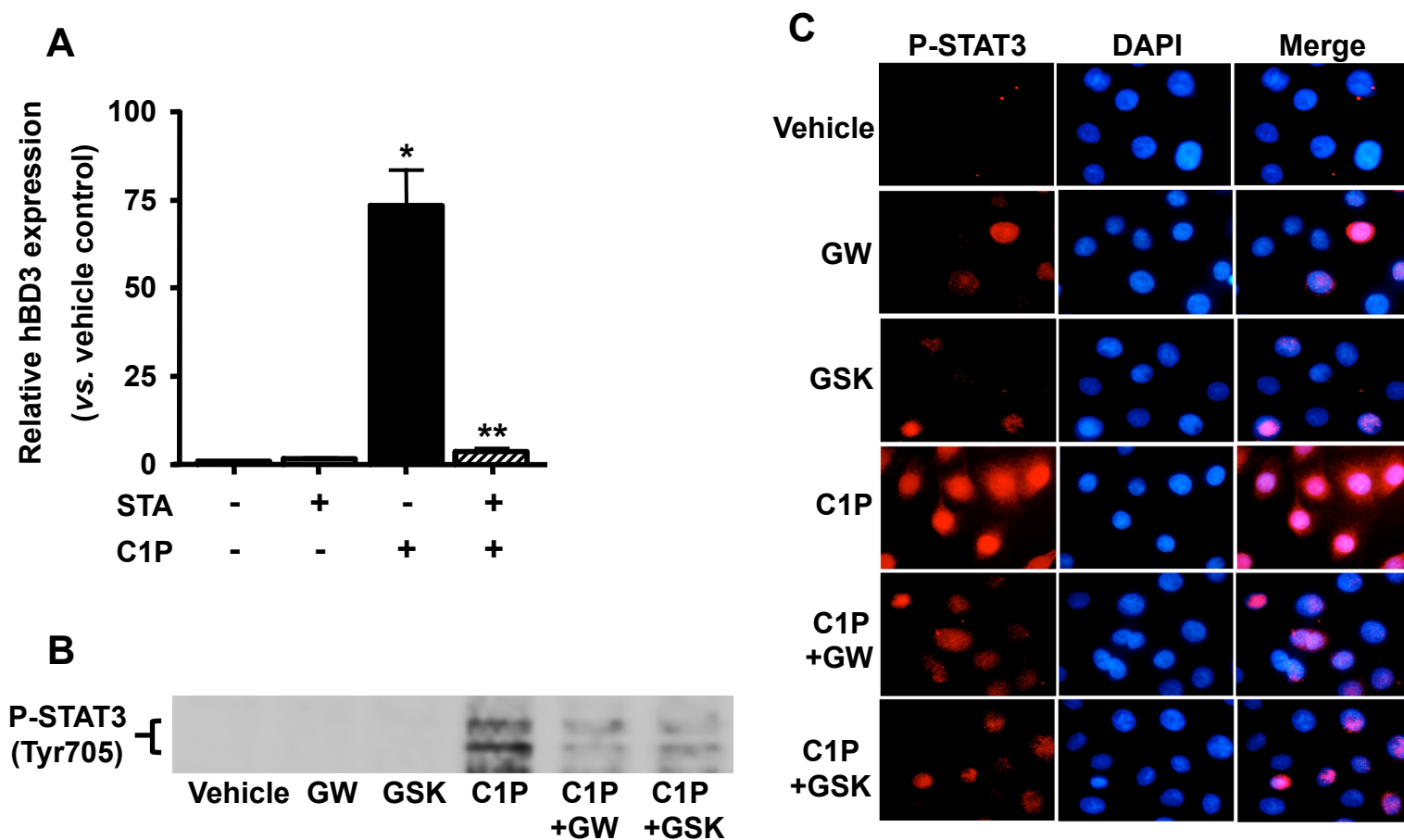


図5 C1P-hBD3発現における作用メカニズム解析

A) C1PによるhBD3発現メカニズム解析4; STAT3の関与。

BおよびC) STAT3活性化に対するC1Pの影響。

P-STAT3; phosphorylated STAT3, STA; STAT3 inhibitor,

GW; PPARa antagonist, GSK; PPARd antagonist, DAPI staining indicates nuclear.

*p < 0.05 vs vehicle control, **p < 0.05 vs C1P

図6

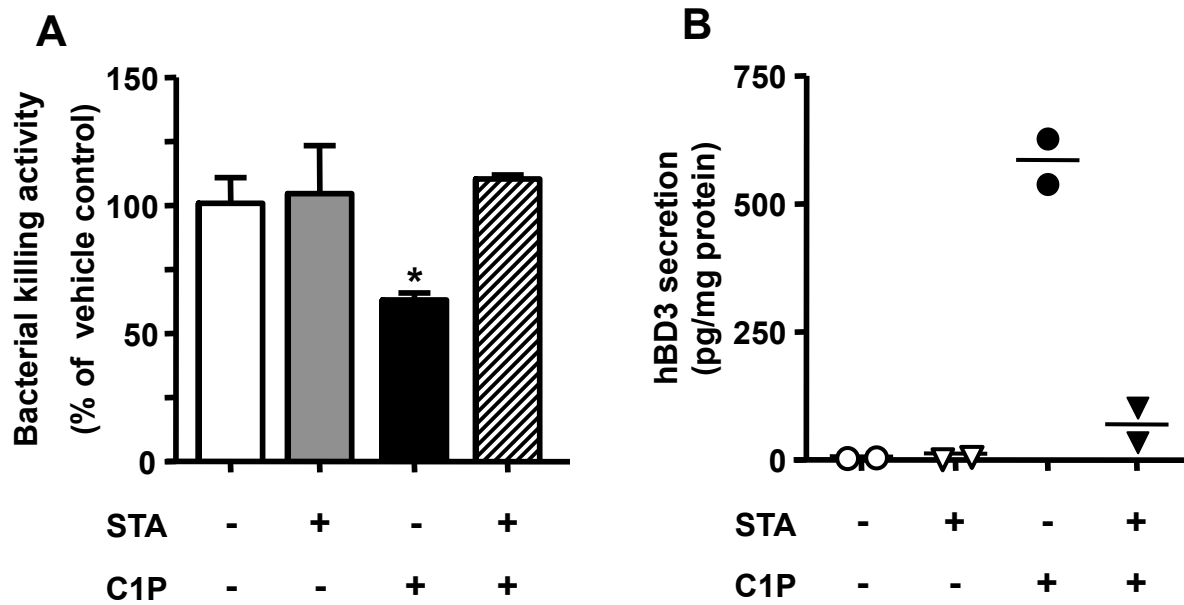


図6 C1Pが抗菌活性に与える評価

A) *Staphylococcus aureus* に対する抗菌活性試験。

B) C1PがhBD3分泌に与える影響。

*p < 0.05 vs vehicle control